

**К ВОПРОСУ УПРУГОПЛАСТИЧЕСКОГО ВНЕДРЕНИЯ
СФЕРИЧЕСКОГО ИНДЕНТОРА**

На основе подобия деформационных характеристик рассмотрено упругопластическое внедрение сферического индентора. Получены выражения для глубины внедрения, площади контакта и средних напряжений в контакте в зависимости от степени нагруженности. Применяемый подход позволяет учесть упрочнение материала и описать процесс упругого восстановления отпечатка.

Ключевые слова: упругопластический контакт, внедрение сферы, площадь контакта, восстановление отпечатка.

Вопросы упругопластического внедрения сферического индентора постоянно находятся в центре внимания исследователей, в частности, в областях трибомеханики и поверхностного пластического деформирования, так как они недостаточно изучены, и некоторые предлагаемые решения требуют уточнений и усовершенствований. Особое внимание привлекают подходы, в которых применяется подобие деформационных характеристик [1, 2, 3], а области ограниченной и развитой упругопластичности описываются одним выражением [2, 3, 4].

Эксперименты показывают, что кривые разгрузки индентора хорошо аппроксимируются степенной функцией [4, 5]

$$P = \alpha(h - h_f)^m, \quad (1)$$

где α и m – константы, $1,2 \leq m \leq 1,6$; h_f – остаточная глубина отпечатка.

Важным практическим свойством кривой упругого восстановления отпечатка при разгрузке является независимость от характера распределения давления под индентором [4, 5]

$$S = \frac{dP}{dh} = \frac{2\beta\sqrt{A}}{\theta\sqrt{\pi}}, \quad (2)$$

где S – упругая (контактная) жесткость; $A = 2\pi R h_c$ – площадь проекции отпечатка, h_c – глубина, вдоль которой имеется контакт, между образцом и индентором;

$\theta = (1 - \nu^2) / E + (1 - \nu_i^2) / E_i$ – упругая характеристика, определяется коэффициентами Пуассона и моделями упругости образца и индентора; β – безразмерный параметр, близкий к единице, в дальнейшем принимаем $\beta = 1$.

Продифференцировав выражение (1) и с учетом того, что $\alpha = P \max / (h \max - h_f)^m$, из выражения (2) получим уравнение, описывающее процесс упругопластического взаимодействия

$$\sqrt{h_c} (h - h_f) = \frac{m\theta P}{2\sqrt{2R}}. \quad (3)$$

В работе [4] в аналогичном выражении первый множитель слева равняется \sqrt{h} , что привело к

тому, что в приведенном примере [2], где использовались результаты [4], значение $m = 2,1$, что несвойственно для упругого восстановления (диапазон значений m приведен выше).

По данным [5]

$$h_c = h - \frac{\varepsilon P}{S} = h - \frac{\varepsilon}{m} (h - h_f), \quad (4)$$

где ε – константа, которая зависит от геометрии индентора. Для сферического индентора $\varepsilon = 0,75$, для плоского $\varepsilon = 1$.

Представим выражение (4) в виде

$$\frac{h_c}{h_f} = \frac{h_f \left(\left(1 - \frac{\varepsilon}{m}\right) \frac{h}{h_f} + \frac{\varepsilon}{m} \right)}{h_f} \quad (5)$$

* - автор, с которым следует вести переписку.

тогда из (3) получим

$$\left(\left(1 - \frac{\varepsilon}{m}\right) \frac{h}{h_f} + \frac{\varepsilon}{m} \right)^2 \left(\frac{h}{h_f} - 1 \right) = \frac{m\theta P}{2\sqrt{2R} h_f^{1,5}}. \quad (6)$$

Обозначим

$$\left(1 - \frac{\varepsilon}{m}\right) \frac{h}{h_f} + \frac{\varepsilon}{m} = y^2, \quad (7)$$

откуда

$$\frac{h}{h_f} = \frac{y^2 - \varepsilon/m}{1 - \varepsilon/m}, \quad (8)$$

$$\frac{h}{h_f} - 1 = \frac{y^2 - 1}{1 - \varepsilon/m}. \quad (9)$$

Подставляя выражения (7) и (9) в (6), имеем

$$y^3 - y - \frac{\theta P (m - \varepsilon)}{2\sqrt{2r} h_f^{1,5}} = 0. \quad (10)$$

Для анализа выражения (10) используем подобие деформационных характеристик [3]

$$P = k P_y, \quad h_f = h_0 = \frac{P_y (k - 1)}{2\pi R K_h \sigma_y}, \quad (11)$$

где P_y – критическая нагрузка, при которой начинается пластическая деформация; $k = P/P_y$ – относительная нагрузка; σ_y – предел текучести; $K_h = HD/\sigma_y$, HD – пластическая твердость [2, 3]. Согласно [3] критическая нагрузка

$$P_y = \frac{K_y^3 \pi^3 R^2 \theta^2 \sigma_y^3}{6}, \quad (12)$$

где $K_y = p_0/\delta_y$ – константа; p_0 – максимальное контактное давление при нагрузке P_y .

Подставляя выражения (11) и (12) в (10), получим

$$y^3 - y - \frac{6^{0,5} k(m-\varepsilon)}{(k-1)^{1,5}} \left(\frac{K_h}{K_y} \right)^{1,5} = 0. \quad (13)$$

Полученное выражение характеризуется степенью нагружения k и величинами m , ε , K_y и K_h . Решение данного уравнения:

$$y_k = \sqrt[3]{-\frac{p}{2} + \sqrt{D}} + \sqrt[3]{-\frac{p}{2} - \sqrt{D}};$$

$$D = \left(\frac{q}{2}\right)^2 + \left(\frac{p}{3}\right)^3;$$

$$p = -1, \quad q = -\frac{6^{0,5} k(m-\varepsilon)}{(k-1)^{1,5}} \left(\frac{K_h}{K_y} \right)^{1,5}.$$

Имея решение y_k уравнения (13), находим: глубину внедрения индентора

$$h = h_0 \frac{y_k^2 - \varepsilon/m}{1 - \varepsilon/m}; \quad (14)$$

глубину контактирующей части

$$h_c = h_0 y_k^2; \quad (15)$$

относительное контактное давление

$$\frac{p_m}{H} = \frac{k}{(k-1) \cdot y_k^2}; \quad (16)$$

параметр α [2]

$$\alpha = \frac{h_0 + 0,5(h - h_0)}{h} = \frac{0,5(h_0 + h)}{h} = \frac{0,5(y_k^2 - 2\varepsilon/m + 1)}{y_k^2 - \varepsilon/m}. \quad (17)$$

Анализ результатов расчета по выражениям (16) и (17) показал, что они абсолютно совпадают с аналогичными выражениями работы [3] при $m = 1,5$, хотя в первом случае при решении кубического уравнения (13) определялись корни, связанные с величиной h/h_0 , во втором [2] – с величиной h_e/h_y .

Преимущество подхода, использованного в настоящей работе, заключается также в том, что возможно описание процесса разгрузки при известном значении параметра m , которое может быть определено либо экспериментально, либо с применением метода конечных элементов.

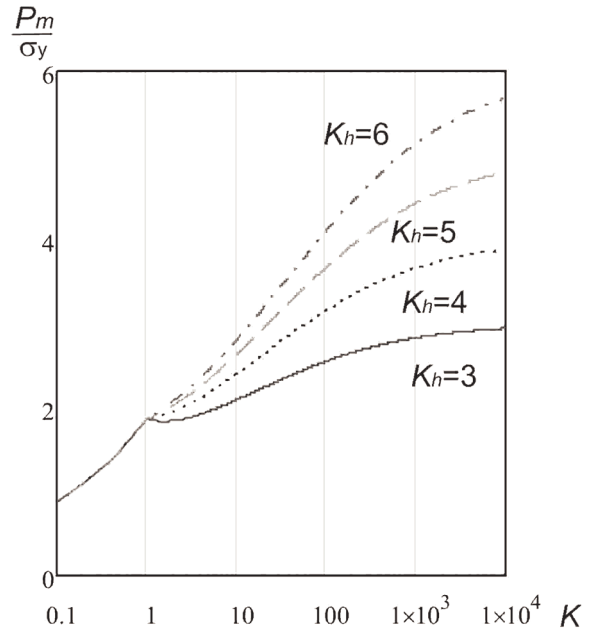


Рис. 1. Зависимость относительного среднего давления от относительной нагрузки при разных значениях K_h .

Как следует из рис. 1, параметр K_h может характеризовать степень упрочнения материала. Определение взаимосвязи K_h с показателем экспоненты упрочнения требует дополнительных исследований.

Литература

1. Ланков А.А. Вероятность упругих и пластических деформаций при сжатии металлических шероховатых поверхностей // Трение и смазка в машинах и механизмах. 2009. № 3. С. 3-5.
2. Огар П.М., Дайнеко А.А., Щур Д.Д. Контакт сферической неровности с упругопластическим полупространством // Системы. Методы. Технологии. 2009. № 4. С. 17-19.
3. Огар П.М., Тарасов В.А., Дайнеко А.А. О некоторых закономерностях внедрения сферического индентора // Там же. 2010. № 4 (8). С. 38-43.
4. Ковалев А.П. Основные закономерности вдавливания сферического индентора и оценка физико механических свойств поверхностного слоя деталей // Упрочняющие технологии и покрытия. 2007. № 1. С. 36-41.
5. Oliver W.C., Pharr G.M. Measurement of hardness and elastic modulus by instrumented indentation: Advances in understanding and refinements to methodology // Journal of Materials Res. 2004. Vol. 19, № 1. P. 3-20.